緩衝能を持つ関東ロームへの石灰溶液の浸透

Percolation of Lime Solution into Kanto-Loam Soil with Buffering Capacity

陳 代文 藤木君佳 取出伸夫

Daiwen Chen Kimika Fujiki Nobuo Toride

- 1. はじめに 石灰系固化材により脱水処理した建設汚泥(処理土)は、埋設に再利用される。しかし処理土は強アルカリ性であるため、周辺地域へのアルカリ成分溶出を抑制する必要がある。そこで、埋設現場に分布し、緩衝能を持つ関東ロームを敷土にした埋設方法が提案されている。本研究では、関東ロームと石灰溶液の混合実験および土カラムへの飽和浸透実験を行い、Ca²+の移動過程に対して、Ca²+と H+の交換吸着とみなして移流分散式(CDE)を適用し、土中溶液の pH 変化の予測を試みた。
- **2.1 混合実験** 200 ml の石灰溶液(4.3 mmol_o/l, pH = 11.93) に対して関東ローム(乾土量 3,6,12,18,21g) を加えてよく混合し,上澄み液のpH の経時変化を測定した。
- **2.2 浸透実験** 内径 4.5 cm , 長さ 20 cm のカラムに , 2 mm 篩を通過した茨城県鹿島市の関東ロームを乾燥密度 $\rho_s = 0.53 \text{ g/cm}^3$ で充填した。 試料を蒸留水で毛管飽和した後 , 石灰溶液をマリオット管により 50 cm の水頭差を与えて浸透させた。そして , 流出液量と流出液の pH と EC , カラム内の EC と土中水圧力を連続測定した。
- **3. 結果と考察** Fig.1 は,混合実験の上澄み液のpH 変化である。土の量が多いほどpH は低下し,平衡には50 h 程度の時間を要する。このpH の低下が,pH 依存荷電のH⁺と Ca²⁺の交換吸着により生じたと仮定した。

Soil·2OH + Ca^{2+} \Longrightarrow Soil·2O-Ca + $2H^{+}$ このとき, Ca^{2+} の吸着による H^{+} の濃度変化 $\Delta[H^{+}]$ は, Ca^{2+} 濃度の変化量に等しい。

$$\Delta[H^+] = 2\Delta C_{Ca} = 2(C_{Ca,0} - C_{Ca})$$
 (1)
ここで , 下添え字 0 は初期濃度を示す。初期溶液が $pH=7$ のとき , 土中溶液の pH は , (1) 式に

基づき次式で与えられる。

$$pH = -\log\left\{\frac{10^{-14.0}}{2C_{Ca} + 10^{-7.0}}\right\}$$
 (2)

Fig.2 は,(2)式よりpH から Ca^{2+} 濃度,また濃度変化から吸着量 Q_{ca} 求めた Ca^{2+} 吸着線である。

Fig.3 は,浸透実験の流出液のpH変化である。 関東ロームの緩衝能は約 40PV(ポアボリューム)の石灰溶液の浸透で急速に失われ,pH は急上昇した。Fig.4 は,流出液の相対 EC と pH の関係である。Fig.5 は,土中溶液中の陽イオンが Ca^{2+} と H^+ のみであると仮定し,測定した EC 値から推定したカラム内の Ca^{2+} 濃度分布の変化である。また,Fig.4 の EC と pH の関係が土中溶液にも適用できると仮定して推定したカラム内の pH 分布の変化を Fig.6 に示す。石灰溶液の浸透に伴い Ca^{2+} が浸透前線で吸着し,pH の急勾配な前線が形成されることがわかる。

このような石灰溶液の浸透過程における Ca^{2+} の移動に対して, CDE を適用した。

$$\frac{\partial C_{Ca}}{\partial t} = D \frac{\partial^2 C_{Ca}}{\partial z^2} - \frac{J_w}{\theta} \frac{\partial C_{Ca}}{\partial z} - \frac{\rho_s}{\theta} \frac{\partial Q_{Ca}}{\partial t} \quad (3)$$

ここで、水分フラックス J_w は実測値を与え、間隙流速をv として分散係数は D=v で与えた(分散長 $\lambda=1$ cm)。 Ca^{2+} 吸着量 Q_{ca} は、Fig.2 の吸着線を考慮して、フロインドリッと式に基づく速度式で与えた。

$$\frac{\partial Q_{Ca}}{\partial t} = \alpha (K_d C_{Ca}^{\beta} - Q_{Ca}) \tag{4}$$

ここで, K_d , β , は定数であり, 十分に時間が 経過すると, $Q_{ca} = K_d C_{ca}{}^{\beta}$ となる。

Fig.2 の実線に示す吸着線(K_d =1.87, β = 0.3)と α = 0.18 h^{-1} を用いたときのカラム内の Ca^{2+} 濃度分布の計算値を Fig.4 に実線で示す。計算値は実測値の前線位置をほぼ再現している。この Ca^{2+} 濃度の計算値から(2)式に基づき推定した流出液の pH を Fig.3, またカラム内の pH 分布を Fig.6 に実線で併記した。計算値は

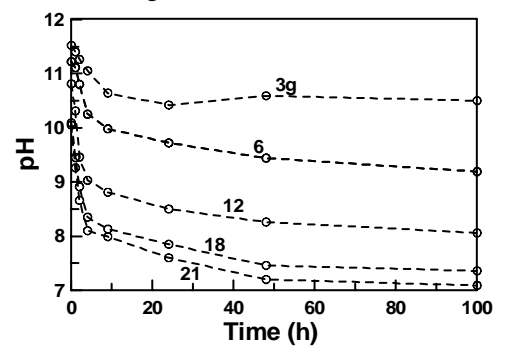


Fig.1 混合実験の上澄み液の pH の時間変化

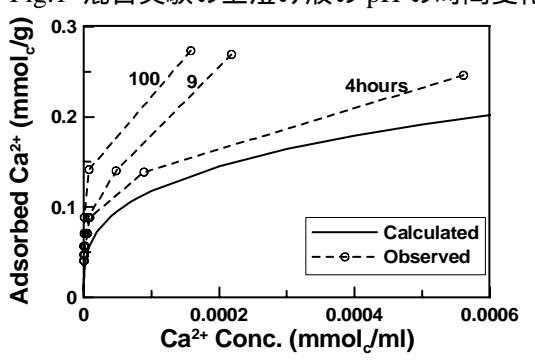


Fig.2 混合実験に基づくCa²⁺吸着線

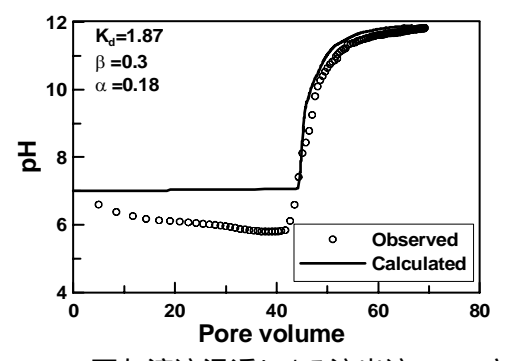


Fig.3 石灰溶液浸透による流出液のpH変化

実測値の pH の変化をほぼ再現した。濃度変化を最も良く再現する吸着線が,Fig.2 の実測値より吸着量が小さい点は,Ca²⁺濃度を実測することにより,再検討する予定である。

緩衝作用は,pH 依存荷電の pH 変化に伴う荷電量変化,またイオン交換などを考慮したモデルが必要であるが,本研究で用いた単純な Ca^{2+} と H^+ の交換吸着とみなすモデルは,処理 土埋設における pH 予測には有用であると考える。

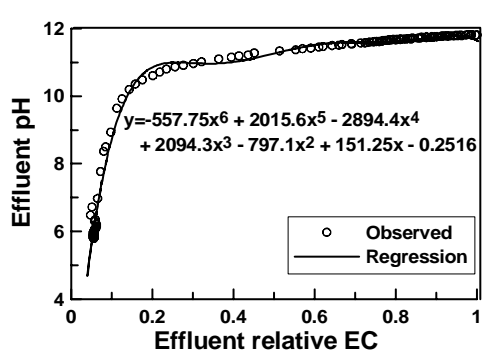


Fig.4 流出液の相対 EC 値とpH の関係

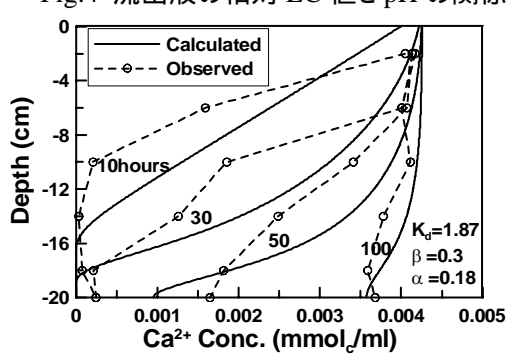


Fig.5 石灰溶液浸透中の Ca²⁺濃度分布

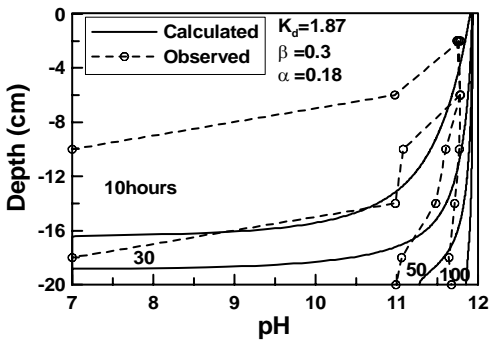


Fig.6 石灰溶液浸透中のカラム内の pH 変化